https://doi.org/10.33878/2073-7556-2023-22-4-89-98





# Первый опыт применения робот-ассистированной вентральной ректопексии сетчатым имплантом с использованием системы Senhance® в лечении пациентов с синдромом обструктивной дефекации

Хитарьян А.Г.<sup>1,2</sup>, Головина А.А.<sup>1,2</sup>, Велиев К.С.<sup>1,2</sup>, Межунц А.В.<sup>1,2</sup>, Алибеков А.З.<sup>1,2</sup>, Орехов А.А.<sup>1,2</sup>, Хитарьян В.А.<sup>1</sup>, Оплимах К.С.<sup>1</sup>

 $^1$ ФГБОУ ВО «Ростовский государственный медицинский университет», кафедра хирургических болезней № 3 (пер. Нахичеванский, д. 29, г. Ростов-на-Дону, 344022, Россия)

<sup>2</sup>ЧУЗ «Клиническая больница «РЖД-Медицина» (ул. Варфоломеева, д. 92а, г. Ростов-на-Дону, 344011, Россия)

РЕЗЮМЕ ЦЕЛЬ ИССЛЕДОВАНИЯ: изучение начальных результатов применения робот-ассистированной вентральной ректопексии сетчатым имплантом с использованием новой системы Senhance в лечении пациентов с синдромом обструктивной дефекации.

ПАЦИЕНТЫ И МЕТОДЫ: в проспективное когортное исследование включались пациенты, которым проводилось хирургическое лечение синдрома обструктивной дефекации, обусловленного наличием ректоцеле и/или выпадения и/или внутренней инвагинации прямой кишки при помощи робот-ассистированной вентральной ректопексии сетчатым имплантом с использованием системы цифровой лапароскопии Senhance®. Проводился анализ оптимальной расстановки троакаров и расположения роботических рук, оценка продолжительности вмешательства, объема интраоперационной кровопотери. В послеоперационном периоде изучали число рецидивов, число осложнений и степень их тяжести по шкале Clavien-Dindo, выраженность болевого синдрома по ВАШ.

РЕЗУЛЬТАТЫ: в исследование были включены 22 пациента. Средняя длительность оперативного вмешательства составила  $87.1 \pm 24.3$  мин. Объем интраоперационной кровопотери составил  $19.8 \pm 9.6$  мл. Конверсии на открытый или лапароскопический доступы не было. Осложнений оперативного лечения не наблюдалось. Болевой синдром на 1 сутки составил, в среднем, 22,5 мм по ВАШ. При контрольном осмотре анатомического рецидива среди пациентов выявлено не было, медиана периода наблюдения составила 20,4 месяцев (7-22 мес.).

ВЫВОДЫ: выполнение робот-ассистированной вентральной ректопексии с использованием системы Senhance® эффективно и безопасно для пациента. Непосредственные результаты применения роботического доступа сопоставимы с лапароскопическим. Однако использование системы цифровой лапароскопии Senhance® является экономически целесообразным в сравнении с другими роботическими системами.

**КЛЮЧЕВЫЕ СЛОВА:** обструктивная дефекация, ректоцеле, выпадение прямой кишки, роботическая хирургия, робот Senhance, ректопексия

**КОНФЛИКТ ИНТЕРЕСОВ:** авторы заявляют об отсутствии конфликта интересов

ДЛЯ ЦИТИРОВАНИЯ: Хитарьян А.Г., Головина А.А., Велиев К.С., Межунц А.В., Алибеков А.З., Орехов А.А., Хитарьян В.А., Оплимах К.С. Первый опыт применения робот-ассистированной вентральной ректопексии сетчатым имплантом с использованием системы Senhance® в лечении пациентов с синдромом обструктивной дефекации. Колопроктология. 2023; т. 22, № 4, с. 89-98. https://doi.org/10.33878/2073-7556-2023-22-4-89-98

# The first experience of robot-assisted vental mesh rectopexy using the Senhance® system in the treatment of patients with obstructive defecation syndrome

Alexander G. Khitaryan<sup>1,2</sup>, Anastasiya A. Golovina<sup>1,2</sup>, Kamil S. Veliev<sup>1,2</sup>, Arut V. Mezhunts<sup>2</sup>, Albert Z. Alibekov<sup>1,2</sup>, Alexey A. Orekhov<sup>1,2</sup>, Vera A. Khitaryan<sup>1</sup>, Kseniya S. Oplimah<sup>1</sup>

<sup>1</sup>Rostov State Medical University, Department of Surgical Diseases №3 (Nakhichevansky lane 29, Rostov-on-Don, 344022, Russia)

<sup>2</sup>Private Healthcare Institution "Clinical Hospital" Russian Railways-Medicine" (Varfolomeeva street, 92a, Rostovon-Don, 344011, Russia)

ABSTRACT AIM: to assess primary results of robot-assisted ventral mesh procedure using the new Senhance® robotic system for obstructive defecation syndrome.

> PATIENTS AND METHODS: the prospective cohort study included patients who underwent robot-assisted ventral mesh rectopexy with the Senhance® system for obstructive defecation syndrome caused by rectocele and/or rectal prolapse and/or internal intussusception. The optimal trocar sites, the location of robotic arms, operation time and intraoperative blood loss were evaluated, as well as post-op morbidity rate (Clavien-Dindo scale), pain intensity (VAS scale) and recurrence rate.

> RESULTS: the study included 22 patients. Operation time was 87.1 ± 24.3 minutes. The intraoperative blood loss was  $19.8 \pm 9.6$  ml. No conversion to open or laparoscopic approach occurred, no morbidity occurred. Pain intensity on day 1 was 0.255 mm according to VAS. No anatomical recurrence was revealed. The median follow-up period was 20.4 months (7-22 months).

> CONCLUSIONS: robotic-assisted ventral rectopexy using the Senhance® system is effective and safe. The results are similar to laparoscopic ones. However, the use of the Senhance® system is cost effective compared to other robotic

KEYWORDS: obstructive defecation, rectocele, rectal prolapse, robotic surgery, Senhance robot, rectopexy

**CONFLICT OF INTEREST:** the authors declare no conflict of interest

FOR CITATION: Khitaryan A.G., Golovina A.A., Veliev K.S., Mezhunts A.V., Alibekov A.Z., Orekhov A.A., Khitaryan V.A., Oplimah K.S. The first experience of robot-assisted vental mesh rectopexy using the Senhance® system in the treatment of patients with obstructive defecation syndrome. Koloproktologia. 2023;22(4):89-98. (in Russ.). https://doi.org/10.33878/2073-7556-2023-22-4-89-98

АДРЕС ДЛЯ ПЕРЕПИСКИ: Хитарьян А.Г., ФГБОУ ВО «РостГМУ», ул. Варфоломеева, д. 92a, Ростов-на-Дону, 344011, Россия; e-mail: khitaryan@amail.com

ADDRESS FOR CORRESPONDENCE: Khitaryan A.G., Rostov State Medical University, Varfolomeeva st., 92a, Rostov-on-don, 344011, Russia; e-mail: khitaryan@gmail.com

Дата поступления — 16.08.2023 Received — 16.08.2023

После доработки — 07.09.2023 Revised — 07.09.2023

Принято к публикации — 09.11.2023 Accepted for publication — 09.11.2023

## ВВЕДЕНИЕ

Лапароскопическая вентральная ректопексия сетчатым имплантом (ЛВР) была впервые описана D'Hoore и Penninckx [1], и с момента своего внедрения в клиническую практику получила широкое распространение в качестве метода выбора в лечении пациентов с обструктивной дефекацией, выпадением и внутренней инвагинацией прямой кишки, ректоцеле, энтероцеле [2-5]. С появлением роботической хирургии, постепенно происходило освоение нового доступа при выполнении ректопексии, и к 2015 году доля роботизированных операций в США составила 27% [6]. По данным значительного ряда исследований, роботассистированная вентральная ректопексия сетчатым имплантом (РВР) является безопасной и эффективной альтернативой традиционной лапароскопической технике и демонстрирует сходные анатомические и функциональные результаты при длительном наблюдении [7-10]. В отношении большинства изучаемых параметров, статистически достоверных различий между роботическим и лапароскопическим доступами не выявлено [11], однако в нескольких статьях сообщалось о лучших клинических результатах после роботизированной хирургии по параметрам обструктивной дефекации, недержания кала и сексуальной функции [12-14].

Необходимо отметить, что роботические технологии привнесли в хирургию тазового пролапса ряд технических преимуществ, таких как трехмерное изображение операционного поля, кратное увеличение, более высокая точность манипуляций за счет инструментов с несколькими степенями свободы, снижение тремора рук и улучшенная эргономика для оператора [10,15–17]. Наиболее существенными данные возможности оказались при выполнении диссекции ректовагинальной перегородки до уровня diaphraqma pelvis в ограниченном пространстве малого таза, при выделении и сохранении сосудов и вегетативных нервов, а также максимально глубокой фиксации дистального конца сетки [9,17,18]. За счет данных преимуществ в ряде исследований отмечается тенденция к снижению объёма интраоперационной кровопотери и частоты осложнений и конверсий при роботическом варианте выполнения вентральной ректопексии сетчатым имплантом [8,19-21]. Однако более высокая стоимость и более длительное время операции, по сравнению с лапароскопическим

доступом, заметно снизили первоначальный энтузиазм и замедлили распространение PBP во всем мире [8,21–24].

Длительное время роботическая хирургия была сопряжена с использованием единственной доступной системы — DaVinci® (Intuitive Surgical, Саннивейл, Калифорния, США). В качестве одного из альтернативных технических решений в 2016 году появилась роботизированная хирургическая система The Senhance® Surgical System® Asensus Surgical US, Inc (Дарем, Северная Каролина, США). Главными её отличиями можно считать улучшенную эргономику для оператора, наличие технологии интеллектуального наведения видеокамеры «Eye-Sensing Control» и обратной тактильной связи, многоразовый инструментарий, существенно снижающий расходы на оперативное лечение, развитый искусственный интеллект, позволяющий производить в реальном времени распознавание тканей и разметку на мониторе. Кроме того, система позволяет использовать большой спектр видеосистем различных производителей и те же доступы и инструменты, что для мануальной лапароскопии. А также позволяет применять лапароскопические инструменты и троакары диаметром 3 мм и 5 мм, что снижает травматичность операции. Все эти аспекты позволяют быстрее интегрировать систему в повседневную работу операционной.

На момент публикации данной статьи в доступной научной литературе при поиске по базам данных PubMed, MEDLINE, EMBASE, Scopus, Cochrane library, CENTRAL, ISI Web of Science и eLibrary в период до августа 2023 г. не было представлено опыта выполнения вентральной ректопексии сетчатым имплантом с использованием системы The Senhance® Surgical System® Asensus Surgical US, Inc.

### ЦЕЛЬ ИССЛЕДОВАНИЯ

Целью настоящего исследования было изучение собственных начальных результатов применения робот-ассистированной вентральной ректопексии сетчатым имплантом с использованием новой системы Senhance в лечении пациентов с синдромом обструктивной дефекации, обусловленным наличием ректоцеле, внутренней инвагинации или выпадения прямой кишки.

### ПАЦИЕНТЫ И МЕТОДЫ

Настоящее исследование является проспективным когортным исследованием, включившим пациентов, которым проводилось хирургическое лечение

синдрома обструктивной дефекации, обусловленного наличием ректоцеле и/или выпадения и/или внутренней инвагинации прямой кишки при помощи робот-ассистированной вентральной ректопексии сетчатым имплантом с использованием системы цифровой лапароскопии Senhance на базе хирургического отделения ЧУЗ КБ «РЖД-Медицина» г. Ростов-на-Дону в период с января 2022 по июнь 2023 года. Всего нами было выполнено 22 операции. Медиана периода наблюдения составила 20,4 месяцев (7–22 мес.). Во время работы с Senhance Surgical System® нами были отмечены ее ключевые особенности:

- Система основана на лапароскопической хирургии. Используются стандартные лапароскопические инструменты, что позволяет ассистенту применять дополнительные троакары и вспомогательные инструменты, а также осуществить быстрый переход на мануальную лапароскопию и возврат к роботической хирургии в случае необходимости (Рис. 1).
- Система Senhance может быть интегрирована в уже существующую в стационаре операционную, с её эндоскопической видеосистемой и энергетическим оборудованием, без необходимости реконструкции или создания новой отдельной операционной. Исключительным отличием от других роботических устройств является совместимость системы с обычными лапароскопическими инструментами 3 мм, 5 мм и 10 мм. Все части робота Senhance могут быть простерилизованы и предназначены для многократного применения. Данные факторы в совокупности существенно снижают расходы на внедрение и использование системы, в сравнении с другими доступными роботическими установками.
- Можно использовать многие HD, UHD или 3D видеосистемы, в том числе с NBI и ICG, и стандартные лапароскопы. Благодаря функции «Eye-Sensing Control» камера может маневрировать параллельно движению глаз хирурга после первоначальной калибровки (Рис. 2).



**Рисунок 1.** Изображение основных элементов хирургической системы Senhance

**Figure 1.** Image of the main elements of the Senhance surgical system

• Система имеет специальные датчики, которые передают хирургу силу давления на ткани или натяжение шва, благодаря чему возрастает аккуратность проведения операции.

- Прямой визуальный контакт с командой и наблюдение за операционным столом оператор, управляющий консолью, ассистент и операционная медсестра могут беспрепятственно контактировать друг с другом и находятся в пределах видимости. Лицо хирурга не скрыто окуляром.
- Работа в консоли не вызывает неудобства, позволяя оператору располагаться в эргономичном кресле с поддержкой шеи и спины.
- Для каждой роботизированной руки система рассчитывает оптимальную точку рычага для троакара fulcrum point благодаря чему можно избежать нежелательных движений и повреждения мягких тканей, а смена инструментов занимает менее минуты (Рис. 3).



**Рисунок 2.** Cockpit с технологией интеллектуального наведения видеокамеры «Eye-Sensing Control» и обратной тактильной связи

**Figure 2.** Cockpit with the technology of intelligent guidance of the video camera «Eye-Sensing Control» and tactile feedback



**Рисунок 3.** Совместимость со стандартными лапароскопическими инструментами, быстрота и удобство переключения

**Figure 3.** Compatibility with standard laparoscopic instruments, speed and convenience of switching

Наш опыт клинического применения подтвердил заявленные преимущества роботизированной системы Senhance Surgical System®, в частности, удобство и эргономичность использования, реализуемые за счет наведения поля зрения хирурга и наличия тактильной обратной связи, а также возможности лапароскопически-ассистированного использования системы.

Робот-ассистированная вентральная ректопексия выполнялась пациентам с синдромом обструктивной дефекации, выражавшемся в необходимости ручного пособия при дефекации, который был обусловлен наличием ректоцеле 3 степени по отечественной классификации [25] и 3-4 стадии по POP-Q [26] и/или наружным выпадением прямой кишки и/ или внутренней инвагинацией прямой кишки по данным дефекографии, в возрасте от 18 до 80 лет без декомпенсированной сопутствующей патологии, а также онкологических, гематологических заболеваний, воспалительных заболеваний толстой кишки и органов малого таза. Все вмешательства выполнялись двумя хирургами, прошедшими обучение и владеющим работой на данной роботической системе, и значительным опытом выполнения колоректальных операций.

Предоперационное обследование включало в себя стандартное клиническое обследование, осмотр в гинекологическом кресле, а также функциональные пробы Вальсальвы, кашлевую, осмотр в положении на корточках, стадирование тазового пролапса по системе POP-Q, колоноскопию, ирригоскопию с дефекографией, а также трансперинеальное, трансвагинальное и трансректальное УЗИ для изучения наличия дефектов мышц тазового дна и анального сфинктера. Тяжесть клинических симптомов оценивали при помощи опросников оценки запоров (Clevel and Clinic Constipation Scoring System) и анальной инконтиненции Векснера (Wexner Incontinence scale) [27].

Нами были собраны данные о продолжительности операции, длительности докинга, расстановке троакаров и роботических манипуляторов и необходимости их перемещения в ходе вмешательства, частоте возникновения интраоперационных осложнений и необходимости конверсии, а также объеме интраоперационной кровопотери и ранних послеоперационных осложнениях, выраженности болевого синдрома на 1 сутки после операции по ВАШ. Для фиксации данных нами использовался протокол TRUST Registry (ClinicalTrials.gov Identifier: NCT03385109). Все данные были обобщены и структурированы в одну базу при помощи программы MS Excel 12 (MicroSoft, США). Проведение настоящего исследования было одобрено локальным этическим комитетом ЧУЗ КБ «РЖД-Медицина». Все пациенты предоставили письменное ОРИГИНАЛЬНЫЕ CTATЬИ ORIGINAL ARTICLES

добровольное информированное согласие на участие в исследовании.

#### Статистический анализ данных

Описательный статистический анализ осуществляли при помощи программ SPSS Statistic 26.0 (IBM, США) и Statistica 10.0 (StatSoft, США). На первом этапе все количественные данные проверяли на подчинение нормальному закону распределения (НЗР) при помощи критерия Шапиро-Уилка, так как объем выборки составил менее 50. В случаях, если выборка подчинялась НЗР, то описание планировалось проводить в виде среднего и стандартного отклонения ( $M \pm SD$ ). В случаях, если выборка не подчинялась НЗР (уровень значимости p < 0.05), то описание планировалось проводить в виде медианы, 25% и 75% квартилей (Ме  $[Q_1;Q_2]$ ). Для описания категориальных (номинальных) данных использовали абсолютные (количество) и относительные (проценты) данные.

Средний возраст пациентов составил 58 лет (32–77 лет, [50;63]), среднее число родов — 3 (0–4 родов, [2;4]), средний ИМТ — 30,2 кг/м² (18,1–36 кг/м², [25,1;32,2]). Среди ранее выполненных операций на органах малого таза пациентами были указаны 2 экстирпации матки с придатками, 1 надвлагалищная ампутация матки и 4 пациентам было ранее проведено кесарево сечение. Средняя длительность существующих симптомов тазового пролапса составила 8,16  $\pm$  4 лет (2–20 лет, 8 [5;10]). Средний балл по шкале запоров Clevel and Clinic Constipation scale среди пациентов — 13,8  $\pm$  5,7 (6–28, 12 [10;19]), стрессовое недержание мочи наблюдалось у трети пациентов (36,4%).

#### Детали оперативного вмешательства

Все операции выполнялись под эндотрахеальным наркозом в положении Тренделенбурга с наклоном  $35^{\circ}$  и поворотом стола на левый бок около 15 градусов. Высота расположения операционного стола до начала докинга составила  $115 \pm 7$  см и изменялась в зависимости от анатомических особенностей пациента и толщины передней брюшной стенки. Дополнительная оптимизация рабочего угла инструмента также осуществлялась за счет его длины: для системы доступны стандартные (30 см) и удлиненные инструменты (45 см).

В технике выполнения вентральной ректопексии сетчатым имплантом условно можно выделить следующие этапы:

#### 1. Установка портов и инструментов

Стандартно использовали 5 портов:  $1 \times 12$  мм,  $1 \times 10$  мм и  $3 \times 5$  мм, и располагали их как показано на рисунке 4.

В параумбиликальной точке устанавливали 10 мм оптический троакар, в правой боковой области устанавливали 12 мм роботический троакар для рабочего инструмента, в левой боковой — 5 мм роботический

троакар, управляемый левой рукой оператора. В левой боковой и левой подвздошной области дополнительно устанавливали два 5 мм троакара для вспомогательных инструментов ассистента.

Для выполнения BP мы использовали следующие инструменты:

- 3D-камера с углом 30° Olympus VISERA ELITE II (Olympus Corporation, Япония);
- Роботические атравматичный граспер, иглодержатель, ножницы, монополярный крючок, биполярный диссектор;
- Лапароскопические атравматичный зажим Бэбкока, герниостеплер, биполярный диссектор, граспер, монополярный крючок.

#### 2. Мобилизация прямой кишки

Атравматичным зажимом Бэбкока через левый боковой порт 5 мм ассистент отводил сигмовидную кишку влево и при помощи монополярной коагуляции оператор рассекал брюшину от области мыса крестца до самой глубокой точки Дугласова кармана с выделением и сохранением гипогастрального нерва.

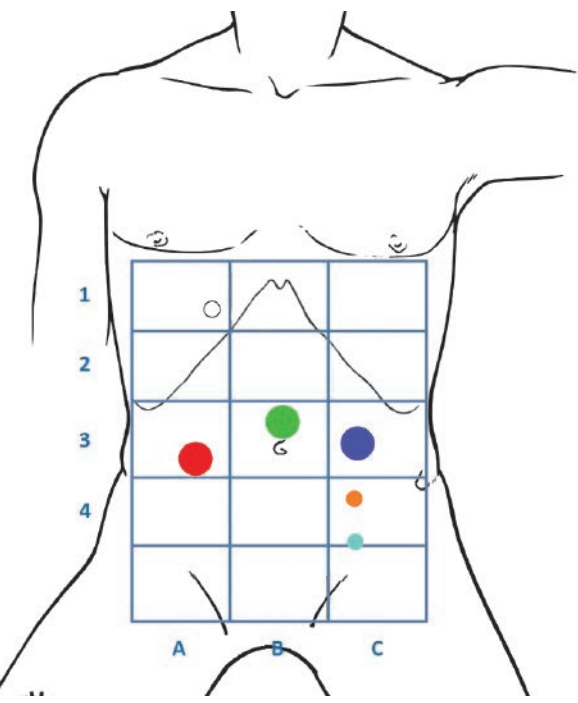


Рисунок 4. Зеленый — первая рука робота, 10 мм, порт для камеры; Красный — вторая рука робота, 12 мм порт; Синий — третья рука робота, 5 мм; Оранжевый, голубой — 5 мм порты для вспомогательных лапароскопических инструментов для ассистента у стола

**Figure 4.** Green — the first arm of the robot, 10 mm, camera port; Red — the second arm of the robot, 12 mm port; Blue — the third arm of the robot, 5 mm; Orange, blue — 5 mm ports for auxiliary laparoscopic instruments for the assistant at the table

Диссекция выполнялась по передней поверхности прямой кишки в плоскости между ректовагинальной фасцией и фасцией Денонвиллье до уровня тазового дна с визуализацией мышц, поднимающих задний проход с обеих сторон (Рис. 5).

использования системы Senhance при выполнении робот-ассистированных этапов оперативного вмешательства представлены в таблице 1.

#### 3. Установка сетчатого импланта и его фиксация.

В брюшную полость вводили проленовую сетку трапециевидной формы длиной 20 см, шириной по дистальному краю 5 см, по проксимальному — 2,5 см. Сетчатый имплант фиксировали от самой глубокой точки диссекции к мышцам, поднимающим задний проход с обеих сторон отдельными узловыми швами и по передней поверхности прямой кишки к мезоректальной фасции нитью ПДС 2.0 (Рис. 6). Проксимальный конец импланта фиксировали к пресакральной фасции 1—2 узловыми швами нитью Ethibond 2/0 (Рис. 7).

#### 4. Закрытие

После тщательного контроля гемостаза и убедившись в адекватности репозиции, ушивали брюшину непрерывным швом, удаляли инструменты. Дренирование малого таза стандартно не выполняли.

Роботические руки-манипуляторы располагали у операционного стола, как показано на рисунке 8, после чего их перемещение в ходе оперативного вмешательства не требовалось. Согласно полученному нами ранее собственному опыту работы с новой роботизированной системой Senhance, а также данным литературы, система позволяет эргономично выполнять отдельные этапы оперативного вмешательства с роботической ассистенцией, а другие — лапароскопически, в зависимости от удобства и предпочтений хирурга. Таким образом, во время оперативного вмешательства осуществлялся запланированный переход на лапароскопический доступ для выполнения отдельных этапов, и обратно, без потери времени и необходимости смены инструментов.

Переключение роботических инструментов на «руках» робота при необходимости осуществляет ассистент, а процесс переключения занимает не более минуты. Хирургический блок управления роботической системой находится в пределах операционной, что позволяет хирургу, управляя манипуляторами и камерой, руководить действиями бригады у стола под прямым визуальным контролем.

Нам представляется, что особые преимущества роботизированной поддержки наиболее важны при выполнении диссекции в узких анатомических пространствах малого таза, наложении ручного интракорпорального шва, а также работе в пределах одной анатомической области. Данные о методике



Рисунок 5. Выполнение монополярной диссекции в области ректовагинальной фасции: прямая кишка отведена атравматичным зажимом каудально

**Figure 5.** Performing a monopolar dissection in the rectovaginal fascia: the rectum is withdrawn by an atraumatic clamp caudally



**Рисунок 6.** Введение сетчатого импланта в брюшную полость и фиксация его дистального конца отдельными узловыми швами

**Figure 6.** Insertion of a mesh implant into the abdominal cavity and fixation of its distal end with separate nodular sutures



Рисунок 7. Фиксация проксимального конца сетчатого импланта к передней продольной связке позвоночника в области мыса крестца

**Figure 7.** Fixation of the proximal end of the mesh implant to the anterior longitudinal ligament of the spine in the area of the sacrum

**Таблица 1.** Робот-ассистированные и лапароскопические этапы выполнения вентральной ректопексии сетчатым имплантом

**Table 1.** Robot-assisted and laparoscopic stages of performing ventral rectopexy with a mesh implant

Операция	Роботический этап	Лапароскопический этап
Вентральная	3 — диссекция по передней поверхности прямой	1 — установка троакаров;
ректопексия	кишки в ректовагинальном пространстве, выделение	2 — висцеролиз;
сетчатым имплантом	и сохранение сосудисто-нервных структур;	4 — введение сетчатого импланта в брюшную полость,
	6 — наложение ручного эндокорпорального шва	его позиционирование;
	для фиксации сетчатого импланта к мезоректуму	5 — введение лигатур в брюшную полость.
	по передней поверхности прямой кишки и к передней	
	продольной связке в области мыса крестца;	
	7 — перитонизация.	

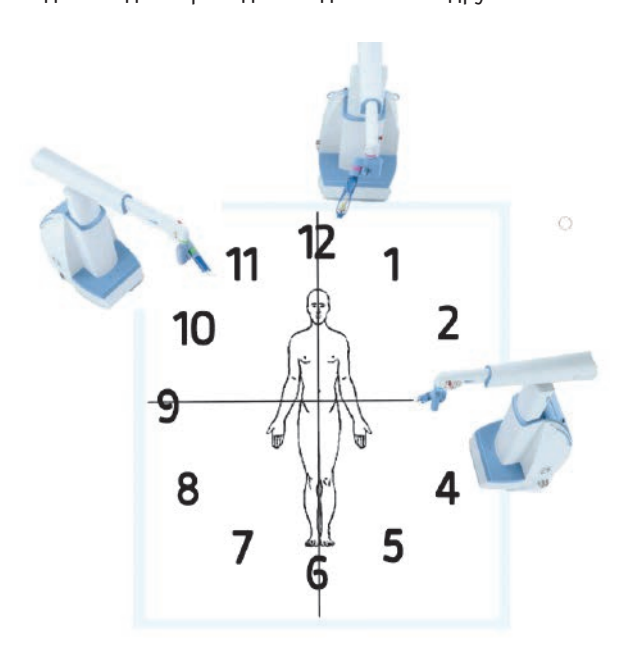
**Таблица 2.** Продолжительность робот-ассистированной вентральной ректопексии сетчатым имплантом с использованием системы Senhance

**Table 2.** Duration of robot-assisted ventral rectopexy with a mesh implant using the Senhance system

Среднее общее время операции, мин. (min-max)	87,1 (65–100)
Среднее время докинга, мин. (min-max)	9 (8–10)
Среднее время за консолью, мин. (min-max)	56,5 (51–68)
Среднее время завершения операции — от момента отключения робота до закрытия кожи, мин. (min-max)	11,4 (10–16)

#### РЕЗУЛЬТАТЫ

По данным анализа непосредственных результатов хирургического лечения средняя длительность оперативного вмешательства составила  $87.1 \pm 24.3$  мин. Нами раздельно было зафиксировано время, необходимое для проведения докинга и других этапов



**Рисунок 8.** Расположение роботических рукманипуляторов: Рука 1 (оптическая система) на 12 ч у.ц.; Рука 2 (правая рука оператора) 10 ч у.ц.; Рука 3 (левая рука оператора) 4 ч у.ц.

**Figure 8.** Location of robotic arm manipulators: Arm 1 (optical system) for 12h; Arm 2 (operator's right hand) 10 h; Hand 3 (operator's left hand) 4 h

робот-ассистированных операций. Средние данные о продолжительности каждого из этапов работы представлены в таблице 2.

Объем интраоперационной кровопотери составил  $19.8 \pm 9.6$  мл. Осложнений, требующих хирургического лечения, а также анатомических рецидивов при контрольном осмотре выявлено не было. Медиана периода наблюдение составила 20.4 месяцев (7–22 мес.). Непосредственные результаты хирургического лечения больных представлены в обобщенном виде в таблице 3.

В раннем послеоперационном периоде пациенты находились в отделении APO до полной стабилизации витальных функций в течение 2 часов, после чего переводились в палату профильного отделения. Пероральное употребление жидкости начинали в первые сутки, прием пищи — на вторые. На первые сутки после оперативного лечения проводили оценку степени выраженности болевого синдрома по визуально-аналоговой шкале, средний балл составил 22,5 (8–31) мм. Средняя длительность госпитализации после робот-ассистированной вентральной ректопексии сетчатым имплантом — 3,7 (2–5) суток.

В ходе работы с системой незапланированных конверсий с робот-ассистированного на мануальное лапароскопическое оперирование или перехода в открытый доступ не было.

### ОБСУЖДЕНИЕ

Роботическая система для цифровой лапароскопии Senhance имеет ряд технических преимуществ, таких как тактильная обратная связь, система наведения камеры взглядом оператора, эргономичность работы

**Таблица 3.** Обобщенные результаты робот-ассистированной вентральной ректопексии сетчатым имплантом с использованием системы Senhance

**Table 3.** Generalized results of robot-assisted ventral rectopexy with a mesh implant using the Senhance system

Средний объем интраоперационной кровопотери, мл	19,8 ± 9,6
Интраоперационные осложнения	0
Частота незапланированных конверсий на открытую/лапароскопическую хирургию, %	0
Длительность пребывания в АРО, часы	2
Послеоперационные осложнения по Clavien-Dindo	0
Послеоперационная летальность, %	0
Болевой синдром на 1 сутки по ВАШ, мм	22,5 (8-31)
Рецидив при контрольных осмотрах, %	0

для хирурга и многоразовые инструменты, совместимые с обычными лапароскопическими инструментами, что значительно снижает стоимость лечения и упрощает процесс интеграции системы в работу операционного блока, возможность использования троакаров диаметром 3 мм и 5 мм, что позволяет снизить травматичность вмешательства, а время смены инструментов или конверсии на лапароскопический доступ составляет менее минуты.

На момент публикации данной статьи в доступной литературе при поиске по базам данных PubMed, MEDLINE, EMBASE, Scopus, Cochrane library, CENTRAL, ISI Web of Science и eLibrary за период времени до августа 2023 года не было представлено опыта выполнения вентральной ректопексии сетчатым имплантом с использованием системы Senhance. Ряд исследователей сообщают о применении данной роботической системы в колоректальной хирургии, преимущественно в лечении онкологических заболеваний. Так, Spinelli et al. впервые сообщили об успешном одноцентровом опыте применения системы Senhance, безопасности и эффективности различных типов операций, в том числе колоректальных [28]. Samalavicius et al. сообщили о 13 случаях оперативного лечения рака ободочной кишки с применением новой робот-ассистированной лапароскопии и заключили, что система удобна и сопоставима по результатам с традиционной лапароскопией [29]. Нами был опубликован первый собственный опыт использования системы, в том числе в колоректальной хирургии [30]. Sasaki et al. в 2022 году опубликовали результаты хирургического лечения 55 случаев колоректального рака и отмечают отличные результаты применения системы [31]. Группа ученых из Беларуси под руководством Слободина Ю.В. сообщают, что работа на роботической системе Senhance, Trans Enterix при выполнении колоректальной хирургии удобна, безопасна и эффективна [32]. Linet al. поделились успешными результатами лечения 46 пациентов [33], a Darwich et al опубликовали детальную технику хирургического лечения дивертикулярной болезни ободочной кишки на примере 12 пациентов [34].

В настоящем исследовании на собственном опыте показана практическая возможность выполнения вентральной ректопексии сетчатым имплантом с помощью роботической системы Senhance, а также наложения интракорпорального шва, прецизионной диссекции в узких пространствах малого таза.

Исследование имеет ряд ограничений, в частности, малое число случаев, а также отсутствие собственного опыта работы с другими роботизированными системами для проведения прямого сравнения между ними и сопоставления с традиционной лапароскопией. Однако использование многоразового инструментария и возможности интеграции в существующую операционную снижают экономические затраты на выполнение PBP с применением системы Senhance, что обусловливает целесообразность данного доступа.

#### ЗАКЛЮЧЕНИЕ

Выполнение робот-ассистированной вентральной ректопексии с использованием системы Senhance эффективно и безопасно для пациента. Непосредственные результаты применения роботического доступа сопоставимы с лапароскопическим. Однако использование системы цифровой лапароскопии Senhance является экономически целесообразным при выполнении вентральной ректопексии сетчатым имплантом в отношении снижения затрат в сравнении с другими роботическими системами.

#### **УЧАСТИЕ АВТОРОВ**

Концепция и дизайн исследования: Хитарьян А.Г., Головина А.А.

Сбор и обработка материала: Головина А.А., Велиев К.С., Межунц А.В., Орехов А.А., Алибеков А.З., Хитарьян В.А., Оплимах К.С.

Статистическая обработка: Головина А.А., Хитарьян В.А., Оплимах К.С.

Написание текста: *Хитарьян А.Г., Головина А.А.* Редактирование: *Хитарьян А.Г., Головина А.А.* 

#### **AUTHORS CONTRIBUTION**

Concept and design of the study: Alexander G. Khitaryan, Anastasiya A. Golovina

Collection and processing of material: Anastasiya A. Golovina, Kamil S. Veliev, Arut V. Mezhunts, Albert Z. Alibekov, Alexey A. Orekhov, Vera A. Khitaryan, Kseniya S. Oplimah

Statistical processing: Anastasiya A. Golovina, Kseniya S. Oplimah, Vera A. Khitaryan

Text writing: Alexander G. Khitaryan, Anastasiya A. Golovina

Editing: Alexander G. Khitaryan, Anastasiya A. Golovina

#### СВЕДЕНИЯ ОБ АВТОРАХ (ORCID)

Хитарьян Александр Георгиевич — д.м.н., проф., зав. кафедрой хирургических болезней №3 ФГБОУ ВО «РостГМУ»; заведующий хирургическим отделением ЧУЗ «Клиническая больница «РЖД-Медицина»; ORCID: 0000-0002-2108-2362

Головина Анастасия Андреевна — врач-хирург ЧУЗ «Клиническая больница «РЖД-Медицина», г. Ростов-на-Дону; аспирант кафедры хирургических болезней № 3 ФГБОУ ВО «РостГМУ»; ОRCID: 0000-0001-5647-1192

Велиев Камиль Савинович — врач-хирург ЧУЗ «Клиническая больница «РЖД-Медицина»; ORCID: 0000-0002-0078-260X

Межунц Арут Ваграмович — к.м.н., врач-хирург ЧУЗ «Клиническая больница «РЖД-Медицина», г. Ростов-на-Дону; ассистент кафедры хирургических болезней №3 ФГБОУ ВО «РостГМУ»; ОRCID: 0000-0001-7787-4919

Алибеков Альберт Заурбекович — к.м.н., доцент кафедры хирургических болезней №3 ФГБОУ ВО «РостГМУ»; ORCID: 0000-0003-4724-3774

Орехов Алексей Анатольевич — к.м.н., доцент кафедры хирургических болезней №3 ФГБОУ ВО «РостГМУ», врач-хирург ЧУЗ «Клиническая больница «РЖД-Медицина»; ORCID: 0000-0002-9508-5179 Хитарьян Вера Александровна — студент ФГБОУ ВО «РостГМУ»

Оплимах Ксения Сергеевна — ординатор кафедры хирургических болезней № 3 ФГБОУ ВО «РостГМУ»; ORCID: 0000-0001-5632-1469

#### INFORMATION ABOUT AUTHORS (ORCID)

Alexander G. Khitaryan — 0000-0002-2108-2362 Anastasiya A. Golovina — 0000-0001-5647-1192 Kamil S. Veliev — 0000-0002-0078-260X Arut V. Mezhunts — 0000-0001-7787-4919 Albert Z. Alibekov — 0000-0003-4724-3774 Alexey A. Orekhov — 0000-0002-9508-5179 Vera A. Khitaryan — n/a Kseniya S. Oplimah — 0000-0001-5632-1469

## ЛИТЕРАТУРА/REFERENCES

- 1. D'Hoore A, Cadoni R, Penninckx F. Long-term outcome of laparoscopic ventral rectopexy for total rectal prolapse. *Br J Surg*. 2004;91:1500–1505. doi: 10.1002/bjs.4779
- 2. Faucheron JL, Trilling B, Girard E, et al. Anterior rectopexy for full-thickness rectal prolapse: technical and functional results. *World J Gastroenterol.* 2015;21:5049–5055. doi: 10.3748/wjg.v21.i16.5049 3. van Iersel JJ, Paulides TJ, Verheijen PM, et al. Current status of laparoscopic and robotic ventral mesh rectopexy for external and
- laparoscopic and robotic ventral mesh rectopexy for external and internal rectal prolapse. *World J Gastroenterol*. 2016;22:4977–4987. doi: 10.3748/wjg.v22.i21.4977
- 4. Formijne Jonkers HA, Poierrié N, Draaisma WA, et al. Laparoscopic ventral rectopexy for rectal prolapse and symptomatic rectocele: an analysis of 245 consecutive patients. *Colorectal Dis.* 2013;15:695–699. doi: 10.1111/codi.12113
- 5. Consten EC, van Iersel JJ, Verheijen PM, et al. Long-term outcome after laparoscopic ventral mesh rectopexy: an observational study of 919 consecutive patients. *Ann Surg.* 2015;262:742–747. doi: 10.1097/SLA.000000000001401
- 6. Damle A, Damle RN, Flahive JM, et al. Diffusion of technology: trends in robotic-assisted colorectal surgery. *Am J Surg*. 2017;214:820–824. doi: 10.1016/j.amjsurg.2017.03.020
- 7. Munz Y, Moorthy K, Kudchadkar R, et al. Robotic assisted rectopexy. *Am J Surg*. 2004;187:88–92. doi: 10.1016/j.amjsurg.2002.11.001
- 8. Bao X, Wang H, Song W, et al. Meta-analysis on current status, efficacy, and safety of laparoscopic and robotic ventral mesh rectopexy for rectal prolapse treatment: can robotic surgery become the gold standard? *Int J Colorectal Dis.* 2021;36:1685–1694. doi: 10.1007/s00384-021-03885-y

- 9. Laitakari KE, Mäkelä-Kaikkonen JK, Pääkkö E, et al. Restored pelvic anatomy is preserved after laparoscopic and robot-assisted ventral rectopexy: MRI-based 5-year follow-up of a randomized controlled trial. *Colorectal Dis.* 2020;22:1667–1676. doi: 10.1111/codi.15195
- 10. Mäkelä-Kaikkonen J, Rautio T, Pääkkö E, et al. Robot-assisted vs laparoscopic ventral rectopexy for external or internal rectal prolapse and enterocele: a randomized controlled trial. *Colorectal Dis.* 2016;18:1010–1015. doi: 10.1111/codi.13309
- 11. Faucheron JL, Trilling B, Girard E. Robotic ventral mesh rectopexy for rectal prolapse: a few years until this becomes the gold standard. *Tech Coloproctol*. 2019;23:407–409. doi: 10.1007/s10151-010.02016.8
- 12. Mantoo S, Podevin J, Regenet N, et al. Is robotic-assisted ventral mesh rectopexy superior to laparoscopic ventral mesh rectopexy in the management of obstructed defaecation? *Colorectal Dis.* 2013;15:e469–e475. doi: 10.1111/codi.12251
- 13. Mäkelä-Kaikkonen J, Rautio T, Kairaluoma M, et al. Does ventral rectopexy improve pelvic floor function in the long term? *Dis Colon Rectum.* 2018;61:230–238. doi: 10.1097/DCR.0000000000000974
- 14. Laitakari KE, Mäkelä-Kaikkonen JK, Kössi J, et al. Mid-term functional and quality of life outcomes of robotic and laparoscopic ventral mesh rectopexy: multicenter comparative matched-pair analyses. *Tech Coloproctol*. 2022;26:253–260. doi: 10.1007/s10151-021-02563-z
- 15. Ayav A, Bresler L, Hubert J, et al. Robotic-assisted pelvic organ prolapse surgery. *Surg Endosc.* 2005;19:1200–1203. doi: 10.1007/s00464-004-2257-5
- 16. Corcione F, Esposito C, Cuccurullo D, et al. Advantages and limits

ОРИГИНАЛЬНЫЕ CTATЬИ ORIGINAL ARTICLES

of robot-assisted laparoscopic surgery: preliminary experience. Surg Endosc. 2005;19:117–119. doi: 10.1007/s00464-004-9004-9

- 17. van der Schans EM, Verheijen PM, Moumni ME, et al. Evaluation of the learning curve of robot-assisted laparoscopic ventral mesh rectopexy. *Surg Endosc.* 2022;36:2096–2104. doi: 10.1007/s00464-021-08496-w
- 18. Perrenot C, Germain A, Scherrer ML, et al. Long-term outcomes of robot-assisted laparoscopic rectopexy for rectal prolapse. *Dis Colon Rectum*. 2013;56:909–914. doi: 10.1097/DCR.0b013e318289366e
- 19. Mehmood RK, Parker J, Bhuvimanian L, et al. Short-term outcome of laparoscopic versus robotic ventral mesh rectopexy for full-thickness rectal prolapse. Is robotic superior? *Int J Colorectal Dis*. 2014;29:1113–1118. doi: 10.1007/s00384-014-1937-4
- 20. Albayati S, Chen P, Morgan MJ, et al. Robotic vs. laparoscopic ventral mesh rectopexy for external rectal prolapse and rectal intussusception: a systematic review. *Tech Coloproctol.* 2019;23:529–535. doi: 10.1007/s10151-019-02014-w
- 21. Ramage L, Georgiou P, Tekkis P, et al. Is robotic ventral mesh rectopexy better than laparoscopy in the treatment of rectal prolapse and obstructed defecation? A meta-analysis. *Tech Coloproctol*. 2015;19:381–389. doi: 10.1007/s10151-015-1320-7
- 22. Heemskerk J, de Hoog DE, van Gemert WG, et al. Robot-assisted vs. conventional laparoscopic rectopexy for rectal prolapse: a comparative study on costs and time. *Dis Colon Rectum*. 2007;50:1825–1830. doi: 10.1007/s10350-007-9017-2
- 23. Mäkelä-Kaikkonen J, Rautio T, Klintrup K, et al. Robotic-assisted and laparoscopic ventral rectopexy in the treatment of rectal prolapse: a matched-pairs study of operative details and complications. *Tech Coloproctol.* 2014;18:151–155. doi: 10.1007/s10151-013-1042-7
- 24. Rondelli F, Bugiantella W, Villa F, et al. Robot-assisted or conventional laparoscoic rectopexy for rectal prolapse? Systematic review and meta-analysis. *Int J Surg.* 2014;12(Suppl 2):S153–S159. doi: 10.1016/j.ijsu.2014.08.359
- 25. Воробьев Г.И. Основы колопроктологии. М.: МИА. 2006; c. 193—208. / Vorobiev G.I. Fundamentals of coloproctology. Moscow: MIA. 2006; pp.193-208. (in Russ.).
- 26. Persu C, Chapple CR, Cauni V, et al. Pelvic Organ Prolapse

- Quantification System (POP-Q) a new era in pelvic prolapse staging. *Journal of Medicine and Life*. (2011;4(1):75–81. PMID 21505577. 27. Wael Sohl and Steven D. Wexner Pelvic Floor Dysfunction. Springer, London. 2008; Chapter 14-2, pp. 353-357.
- 28. Spinelli A, David G, Gidaro S, et al. First experience in colorectal surgery with a new robotic platform with haptic feedback. *Colorectal Dis.* March 2018; 20(3), 228-235. doi: 10.1111/codi.13882
- 29. Samalavicius NE, Janusonis V, Siaulys R, et al. Robotic surgery using Senhance® robotic platform: single center experience with first 100 cases. *J Robot Surg.* 2020;14:371–376.
- 30. Хитарьян А.Г., Матвеев Н.Л., Велиев К.С., и соавт. Первый клинический опыт использования новой телеуправляемой роботизированной системы Senhance в общей хирургии в России. Хирургия. Журнал им. Н.И. Пирогова. 2022;(9):5-13. / Khitaryan A.G., Matveev N.L., Veliyev K.S., et al. The first clinical experience of using the new remote-controlled robotic Senhance system in general surgery in Russia. Surgery. Journal named after N.I. Pirogov. 2022;(9):5-13. (in Russ.).
- 31. Sasaki M, Hirano Y, Yonezawa H, et al. Short-term results of robotassisted colorectal cancer surgery using Senhance Digital Laparoscopy System. *Asian J Endosc Surg.* 2022;15(3):613-618. doi: 10.1111/ases.13064
- 32. Слободин Ю.В., Кухарчик М.С., Сидоров С.А. Колоректальная хирургия с использованием роботической системы Senhance, Trans Enterix (США). Опыт центра. *Евразийский онкологический журнал*. 2019;7(2):259. / Slobodin Yu.V., Kukharchik M.S., Sidorov S.A. Colorectal surgery using the Senhance robotic system, Trans Enterix (USA). The experience of the center. *Eurasian Journal of Oncology*. 2019;7(2):259. (in Russ.).
- 33. Lin CC, Huang SC, Lin HH, et al. An early experience with the Senhance surgical robotic system in colorectal surgery: a single-institute study. *Int J Med Robot*. 2021;17:e2206. doi: 10.1002/rcs.2206
- 34. Darwich I, Stephan D, Klöckner-Lang M, et al. A roadmap for robotic-assisted sigmoid resection in diverticular disease using a Senhance™ Surgical Robotic System: results and technical aspects. *J Robotic Surg.* 2020;14:297–304. doi: 10.1007/s11701-019-00980-9